

# КАК ЗАРЕГИСТРИРОВАТЬ ДВУХНЕЙТРИННЫЙ ДВОЙНОЙ К-ЗАХВАТ В ПРЯМОМ (СЧЕТЧИКОВОМ) ЭКСПЕРИМЕНТЕ

*A.C.Барабаш*

*Институт теоретической и экспериментальной физики  
117259 Москва, Россия*

Поступила в редакцию 7 апреля 1994 г.

Получены оценки значений периода полураспада для целого ряда ядер по каналу  $2K(2\nu)$  на  $O_1^+$ -возбужденный уровень дочернего ядра и показано, что для  $^{96}\text{Ru}$ ,  $^{106}\text{Cd}$ ,  $^{124}\text{Xe}$ ,  $^{136}\text{Ce}$  и  $^{156}\text{Dy}$  ( $T_{1/2} \approx 10^{21} - 10^{22}$  лет) этот тип распада может регистрироваться на современных низкофоновых установках. Предлагаются соответствующие эксперименты.

Значительные усилия физиков-экспериментаторов направлены в настоящее время на поиск и исследование процессов двойного бета-распада. Основные успехи, достигнутые в этой области за последние несколько лет, связаны с регистрацией двухнейтринного  $2\beta$ -распада для целого ряда ядер (см. обзоры [1-3]), что дало экспериментальную информацию о значениях ядерных матричных элементов (ЯМЭ) для  $2\beta(2\nu)$ -переходов. В результате появилась возможность проверки некоторых теоретических моделей и проведения более точных расчетов ЯМЭ как для  $2\nu$ , так и для  $0\nu$ -распада. Точные расчеты ЯМЭ для  $0\nu$ -распада позволяют получить надежные ограничения на массу майороновского нейтрино, примесь правых токов в электрослабом взаимодействии, константу связи майорона с нейтрино и т. п., а при регистрации  $0\nu$ -распада – дать точные значения этих величин. К сожалению, расчет ЯМЭ до сих пор остается одной из основных проблем в теории  $2\beta$ -распада. Можно ожидать, что накопление экспериментальной информации о  $2\beta(2\nu)$ -процессах (измерение периодов полураспада для широкого круга ядер с высокой точностью), регистрация других типов  $2\beta$ -переходов ( $2\beta^+$ -,  $K\beta^+$ - и  $2K$ -процессы) позволит существенно повысить качество расчетов ЯМЭ как для  $2\nu$ -, так и для  $0\nu$ -распадов.

$2\beta^+(2\nu)$ -,  $K\beta^+(2\nu)$ - и  $2K(2\nu)$ -переходам уделялось существенно меньше внимания, поскольку не было надежды на регистрацию этих процессов на современных низкофоновых установках.  $2\beta^+(2\nu)$ - и  $K\beta^+(2\nu)$ -процессы сильно подавлены по сравнению с  $2\beta^-(2\nu)$ -распадом из-за кулоновского барьера для позитронов и существенно меньшей кинетической энергии, реализуемой в таких переходах, хотя и привлекательны с экспериментальной точки зрения из-за возможности регистрации этих процессов в режиме совпадений сигналов от четырех (или двух) аннигиляционных  $\gamma$ -квантов и двух (или одного) позитронов.

Для  $2K(2\nu)$ -процесса кинетическая энергия перехода может быть достаточно большой (до  $\sim 2,8$  МэВ), а позитроны в конечном состоянии отсутствуют. Однако этот процесс трудно детектировать, поскольку в нем доступно для регистрации только характеристическое излучение (суммарная энергия  $\sim 30 \div 100$  кэВ для наиболее перспективных ядер). Именно поэтому попытки поиска этого процесса предпринимались лишь в нескольких работах [4-6]. Причем, чувствительность этих экспериментов была крайне низкой ( $\sim 10^{15} - 10^{18}$  лет).

В настоящей работе мы покажем, что используя современные низкофоновые установки, можно зарегистрировать  $2K(2\nu)$ -захват на  $0_1^+$ -возбужденное состояние дочернего ядра для целого ряда изотопов в прямых (счетчиковых) экспериментах.

Каковы же ожидаемые периоды полураспада для таких переходов? Будем использовать для оценок результаты современных теоретических расчетов вероятности  $2K(2\nu)$ -переходов в основное  $0^+$ -состояние дочерних ядер. Оценки вероятности таких переходов делались и раньше [7-9], но носили скорее качественный характер и давали пессимистические (то есть за пределами возможностей современного эксперимента) предсказания на вероятность таких переходов. Недавно были сделаны точные вычисления фазового объема с использованием релятивистских волновых функций для  $2\beta^+(2\nu)$ - $, K\beta^+(2\nu)$ - и  $2K(2\nu)$ -переходов [10], а в работе [11] проведены расчеты ЯМЭ для  $(0^+ - 0^+)$ -переходов для четырех ядер ( $^{58}\text{Ni}$ ,  $^{96}\text{Ru}$ ,  $^{106}\text{Co}$  и  $^{136}\text{Ce}$ ) в рамках модели QRPA с учетом взаимодействия частица-частица в ядре. К сожалению, расчеты выполнены только для четырех ядер. Поэтому для остальных ядер, рассматриваемых в настоящей работе, принимаем  $M_{GT}(0^+ - 0^+) = 0,3$ , что представляется достаточно реалистичным, учитывая результаты расчетов работы [11].

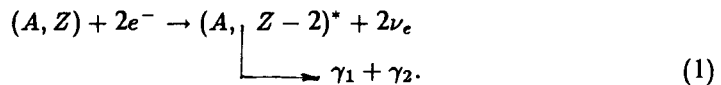
В таблице приведены результаты наших оценок периодов полураспада  $T_{1/2}^{2\nu}(0^+ - 0_1^+)$  для  $2K(2\nu)$ -переходов на  $0_1^+$ -возбужденное состояние дочерних ядер, энергия переходов  $E_{2K}^*$  (в массах электрона) и изотопная распространенность наиболее перспективных ядер-кандидатов. Предполагалось равенство ЯМЭ для  $(0^+ - 0^+)$ - и  $(0^+ - 0_1^+)$ -переходов<sup>1</sup> и учитывалась разница фазовых объемов (вероятность  $2K(2\nu)$ -захвата пропорциональна энергии перехода в пятой степени). Значения факторов фазового объема для  $(0^+ - 0^+)$ -переходов брались из [10].

Ядро	Изотопная распространенность, %	$E_{2K}^*[m_e]$	$T_{1/2}^{2\nu}(2K; 0^+ - 0_1^+)$ , лет
$^{78}\text{Kr}$	0,354	2,63	$2,4 \cdot 10^{23}$
$^{96}\text{Ru}$	5,46	2,97	$(2,2 - 4,7) \cdot 10^{22}$
$^{106}\text{Cd}$	1,22	3,09	$(2,2 - 3,9) \cdot 10^{21}$
$^{124}\text{Xe}$	0,096	3,18	$3 \cdot 10^{21}$
$^{130}\text{Ba}$	0,101	1,37	$1,5 \cdot 10^{23}$
$^{136}\text{Ce}$	0,193	1,44	$8,7 \cdot 10^{20} - 2 \cdot 10^{22}$
$^{162}\text{Er}$	0,136	0,60	$1,2 \cdot 10^{24}$

Как видно из таблицы, для целого ряда ядер значения  $T_{1/2}^{2\nu}(2K; 0^+ - 0_1^+)$  лежат в области значений  $\sim 10^{21} - 10^{22}$  лет и, как будет показано ниже, эти процессы могут быть зарегистрированы на современных низкофоновых установках.

Основная идея эксперимента состоит в следующем: предлагается зарегистрировать  $2K(2\nu)$ -захват на возбужденное  $0_1^+$ -состояние дочернего ядра:

<sup>1</sup>) Это предположение представляется оправданным, тем более, что недавно оно было подтверждено для  $2\beta(2\nu)$ -распада в эксперименте с  $^{100}\text{Mo}$  [12].



Энергия возбуждения снимается испусканием двух каскадных  $\gamma$ -квантов со строго фиксированной энергией, регистрация которых и позволит надежно идентифицировать этот процесс.

В настоящее время существуют и успешно эксплуатируются низкофоновые установки на основе Ge-полупроводниковых детекторов объема  $\sim 200 \div 600 \text{ см}^3$  с крайне низким уровнем фона –  $\sim 3 \div 10$  отсчетов/кэВ·кг·год в интересующей нас области энергий 400 – 700 кэВ [13, 14]. Если окружить такой детектор исследуемым изотопом ( $^{96}\text{Ru}$ ,  $^{106}\text{Cd}$ ,  $^{124}\text{Xe}$ ,  $^{136}\text{Ce}$ ) с массой 1 кг, то чувствительность эксперимента составит  $\sim (3 - 5) \cdot 10^{22}$  лет за 1 год измерений. Примерно такой же чувствительности можно достичь, используя Ge-детекторы с активной защитой из кристаллов NaJ(Tl) [15], либо помещая образец между двумя большими кристаллами NaJ(Tl) и регистрируя каскадные  $\gamma$ -кванты в режиме совпадений.

Сравнивая пролученную оценку чувствительности современных низкофоновых установок на основе Ge-детекторов с предсказаниями на период полураспада для  $^{96}\text{Ru}$ ,  $^{106}\text{Cd}$ ,  $^{124}\text{Xe}$  и  $^{136}\text{Ce}$  по каналу  $2K(2\nu; 0^+ - 0_1^+)$ , приходим к выводу, что этот тип распада можно зарегистрировать в настоящее время для всех перечисленных изотопов. Отметим также перспективность поиска этого процесса для  $^{156}\text{Dy}$  ( $E^* = 1,67[m_e]$ )<sup>2)</sup>. Что касается  $^{124}\text{Xe}$ , то для него можно предложить и несколько иную схему эксперимента, а именно: ионизационная камера (либо пропорциональный счетчик) высокого давления, заполненная  $^{124}\text{Xe}$ , окружается детекторами NaJ(Tl). Характеристическое излучение регистрируется ионизационной камерой (пропорциональным счетчиком), а каскадные  $\gamma$ -кванты – детекторами NaJ(Tl). В результате полезные события (тройные совпадения) можно будет легко отличить от фоновых. При использовании 1 кг исследуемого изотопа чувствительность эксперимента составит  $\sim 10^{23}$  лет, что достаточно для регистрации  $2K(2\nu; 0^+ - 0_1^+)$ -захвата в  $^{124}\text{Xe}$ .

В заключение отметим, что получение 1 кг перечисленных выше изотопов в настоящее время технически возможно, хотя и достаточно дорого. Наиболее доступны  $^{96}\text{Ru}$ ,  $^{106}\text{Cd}$ , и  $^{124}\text{Xe}$ .

Таким образом, мы показали, что на современных низкофоновых установках можно регистрировать процесс  $2K(2\nu; 0^+ - 0_1^+)$ -захвата для целого ряда ядер. Предлагается провести серию экспериментов по регистрации этого процесса в  $^{96}\text{Ru}$ ,  $^{106}\text{Cd}$ ,  $^{124}\text{Xe}$ ,  $^{136}\text{Ce}$  и  $^{156}\text{Dy}$  на существующих и создаваемых низкофоновых установках.

- 
1. T.Tomoda, Rep. Prog. Phys. **54**, 53 (1991).
  2. A.Morales, Nucl. Phys. B(Proc. Suppl.) **28A**, 181 (1992).
  3. M.K.Moe, Preprint UCI-Neutrino 93-1 (1993).
  4. A.Berthelot et al., Acad. Sci. **238**, 1769 (1953).
  5. E.Bellotti, E.Fiorini et al., Lett. Nuovo Cim. **33**, 273 (1982).
  6. Е.Бухнер, И.Н.Вишневский, Ф.А.Даневич и др., Ядерная физика **52**, 305 (1990).

<sup>2)</sup>Принимая  $M_{\text{GT}}(0^+ - 0_1^+) = 0,3$ , получаем, что ожидаемое значение периода полураспада по каналу  $2K(2\nu; 0^+ - 0_1^+)$  составит  $\sim 10^{22}$  лет

7. C.W.Kim and K.Kubodera, Phys. Rev. D<sup>27</sup>, 2765 (1983).
8. J.D.Vergados, Nucl. Phys. B<sup>218</sup>, 109 (1983).
9. С.К.Балаев, А.А.Кулиев, Д.И.Саламов, Известия АН СССР, сер. физ. 53, 2136 (1989).
10. M.Doi and T.Kotani, Prog. Theor. Phys. 87, 1207 (1992).
11. J.Suhonen, Phys. Rev. C<sup>48</sup>, 574 (1993).
12. A.S.Barabash, F.T.Avignone, C.K.Guerard et al., In: Proc. III Int Symp. "WEIN'92", Dubna, World Scientific, ed. by Ts. D.Vylov, p.582.
13. F.T.Avignone, R.L.Brodzinski, H.S.Miley et al., In: Proc. II Int Symp. "WEIN'89", Montreal, World Scientific, ed. by P.Depommier, p.235.
14. M.Beck, F.Bensch, J.Bockholt et al., Phys. Rev. Lett., 70, 2853 (1993).
15. D.O.Caldwell, Int. J. Modern. Phys. 4, 1851 (1989).